

Fig. 8-II Modelo DHI/MIKE21-BW

Índice de Agitação no Porto de Pesca de Rabo de Peixe – Referência

Condição de fronteira  $H=1\text{m}$ ;  $T=8\text{s}$ , Rumo=N;  $H_{\text{maré}}=1\text{m}$ , Malha  $5\text{x}5\text{m}$

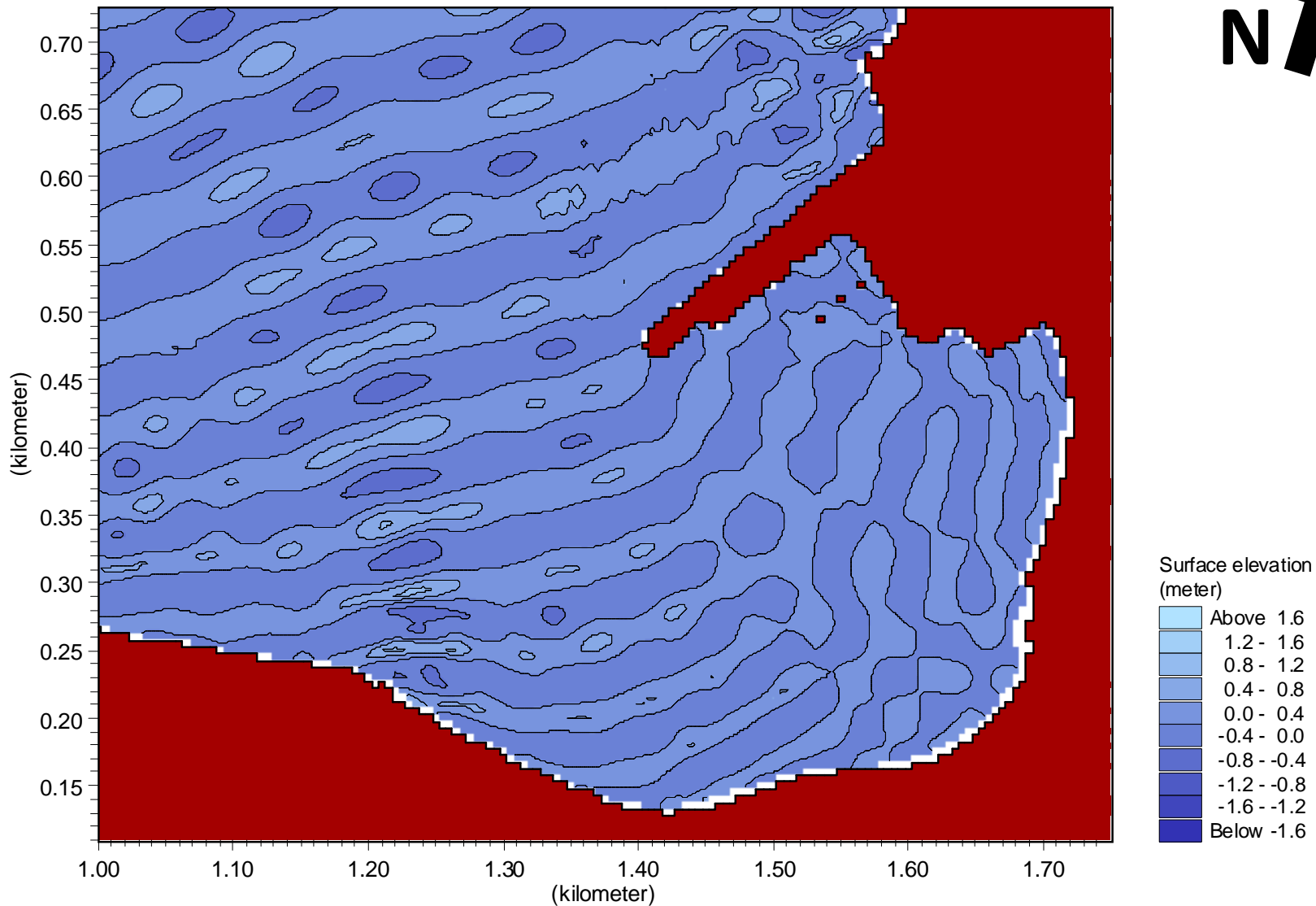


Fig. 9-II Modelo DHI/MIKE21-BW

Sobreelevação da Superfície Livre no Porto de Pesca de Rabo de Peixe – Referência  
 Condição de fronteira  $H=1\text{m}$ ;  $T=8\text{s}$ , Rumo=N;  $H_{\text{maré}}=1\text{m}$ , Malha  $5\text{x}5\text{m}$

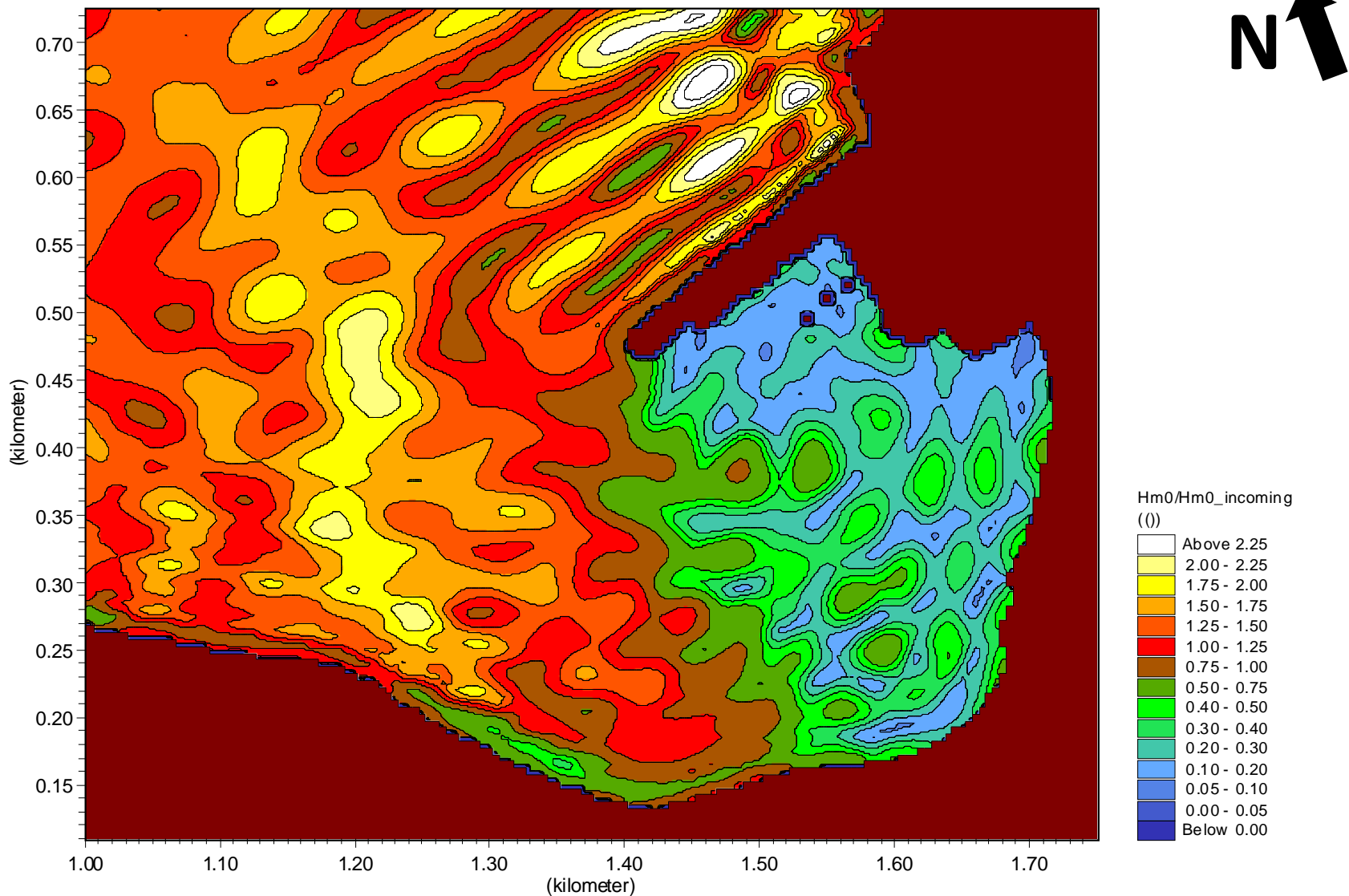


Fig. 10-II Modelo DHI/MIKE21-BW

Índice de Agitação no Porto de Pesca de Rabo de Peixe – Referência

Condição de fronteira  $H=1\text{m}$ ;  $T=12\text{s}$ , Rumo=N;  $H_{\text{maré}}=1\text{m}$ , Malha 5x5m

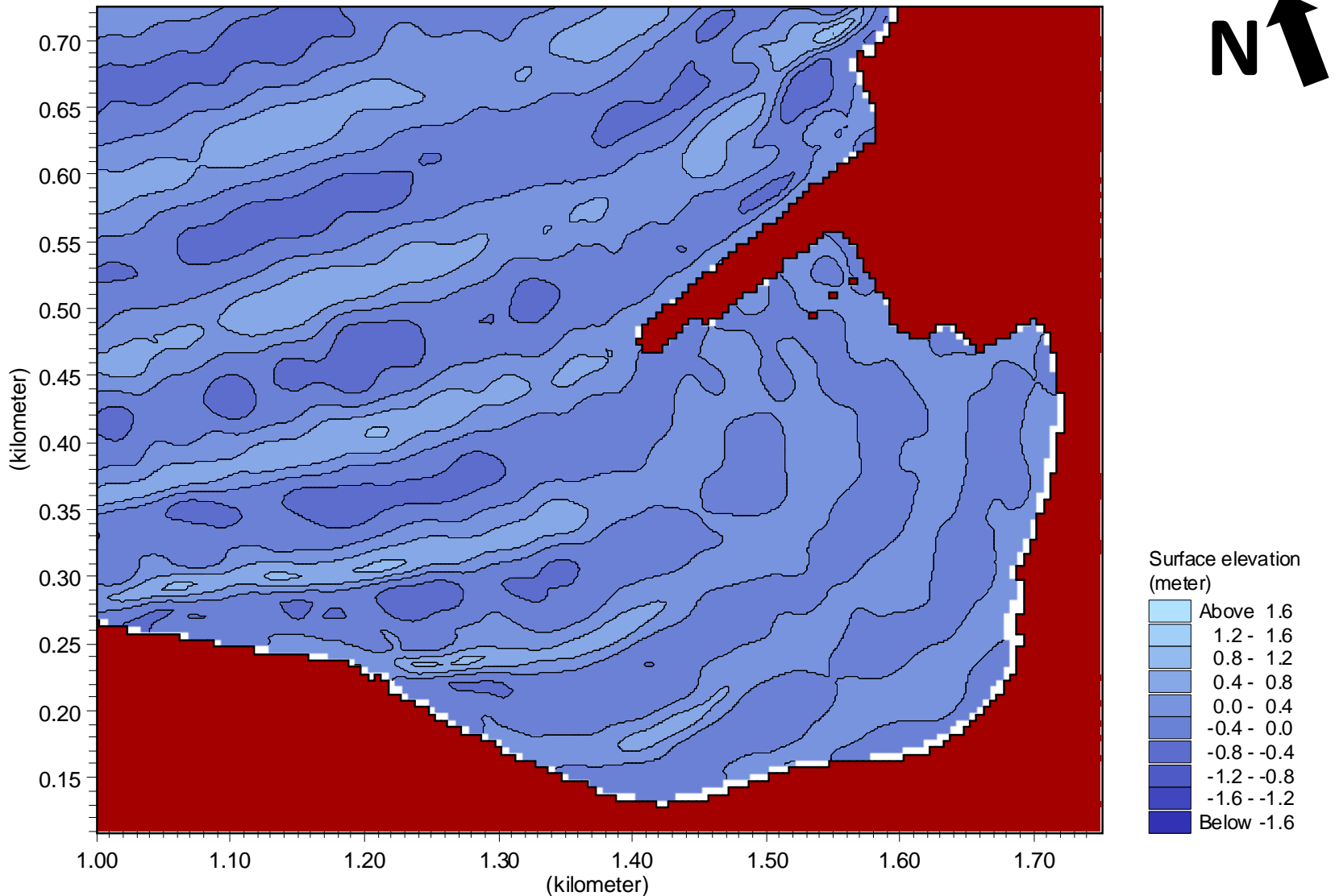


Fig. 11-II Modelo DHI/MIKE21-BW

Sobreelevação da Superfície Livre no Porto de Pesca de Rabo de Peixe – Referência  
 Condição de fronteira  $H=1\text{m}$ ;  $T=12\text{s}$ , Rumo=N;  $H_{\text{maré}}=1\text{m}$ , Malha 5x5m

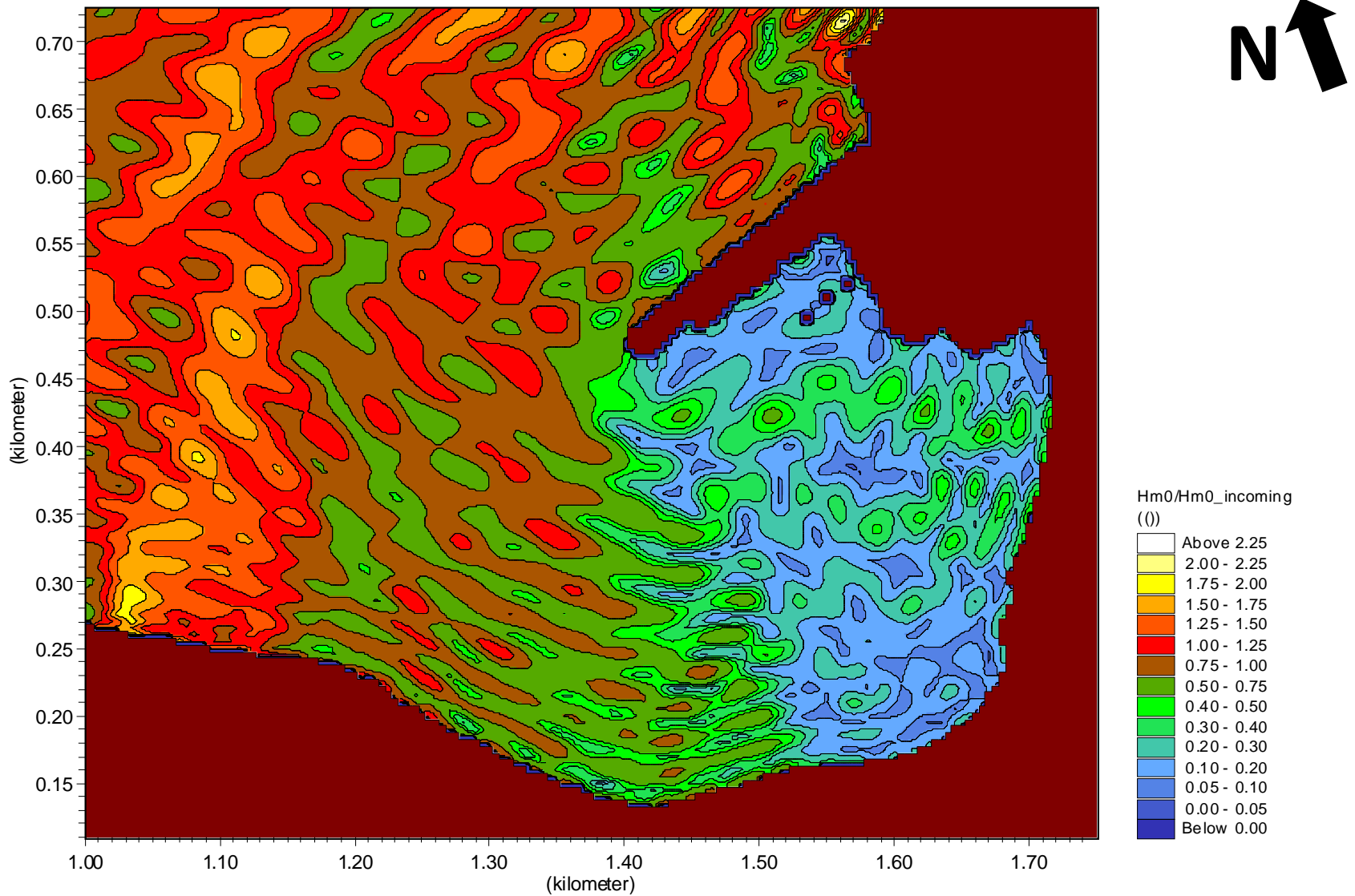


Fig. 12-II Modelo DHI/MIKE21-BW

Índice de Agitação no Porto de Pesca de Rabo de Peixe – Referência

Condição de fronteira  $H=1m$ ;  $T=8s$ , Rumo=N30E;  $H_{maré}=1m$ , Malha 5x5m

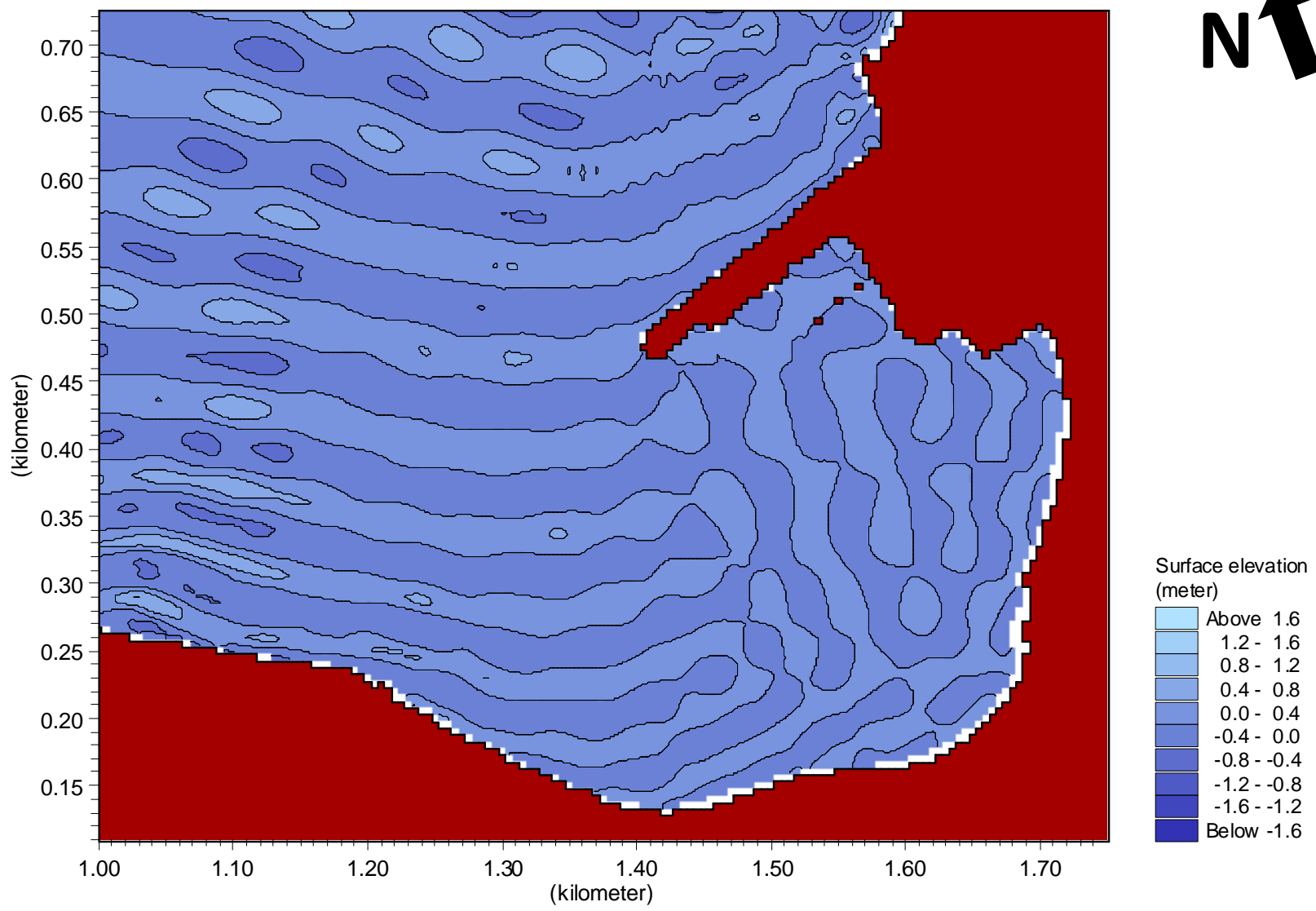


Fig. 13-II Modelo DHI/MIKE21-BW

Sobreelevação da Superfície Livre no Porto de Pesca de Rabo de Peixe – Referência

Condição de fronteira H=1m; T=8s, Rumo=N30E; Hmaré=1m, Malha 5x5m

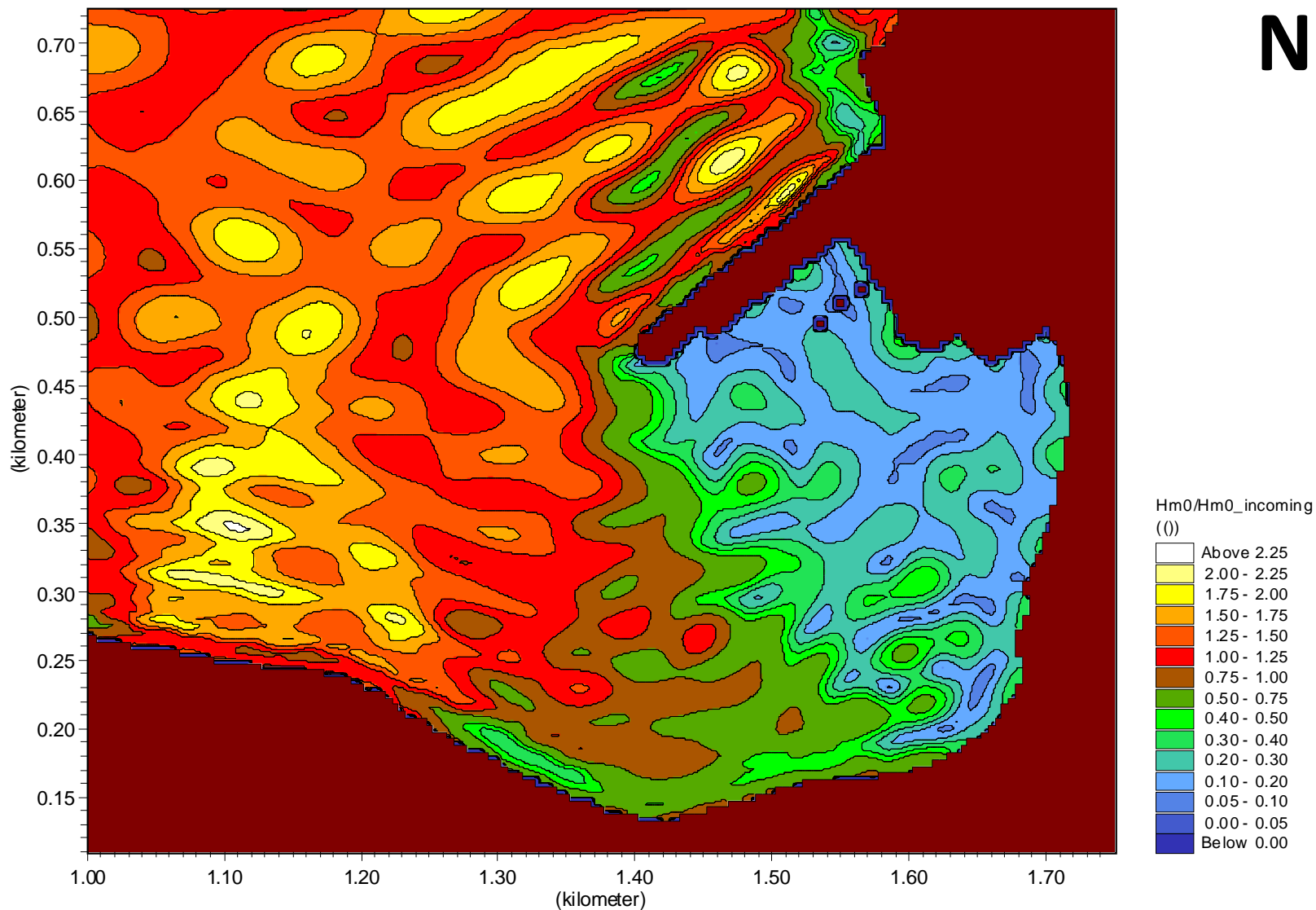


Fig. 14-II Modelo DHI/MIKE21-BW

Índice de Agitação no Porto de Pesca de Rabo de Peixe – Referência

Condição de fronteira  $H=1m$ ;  $T=12s$ , Rumo= $N30E$ ;  $H_{maré}=1m$ , Malha  $5x5m$

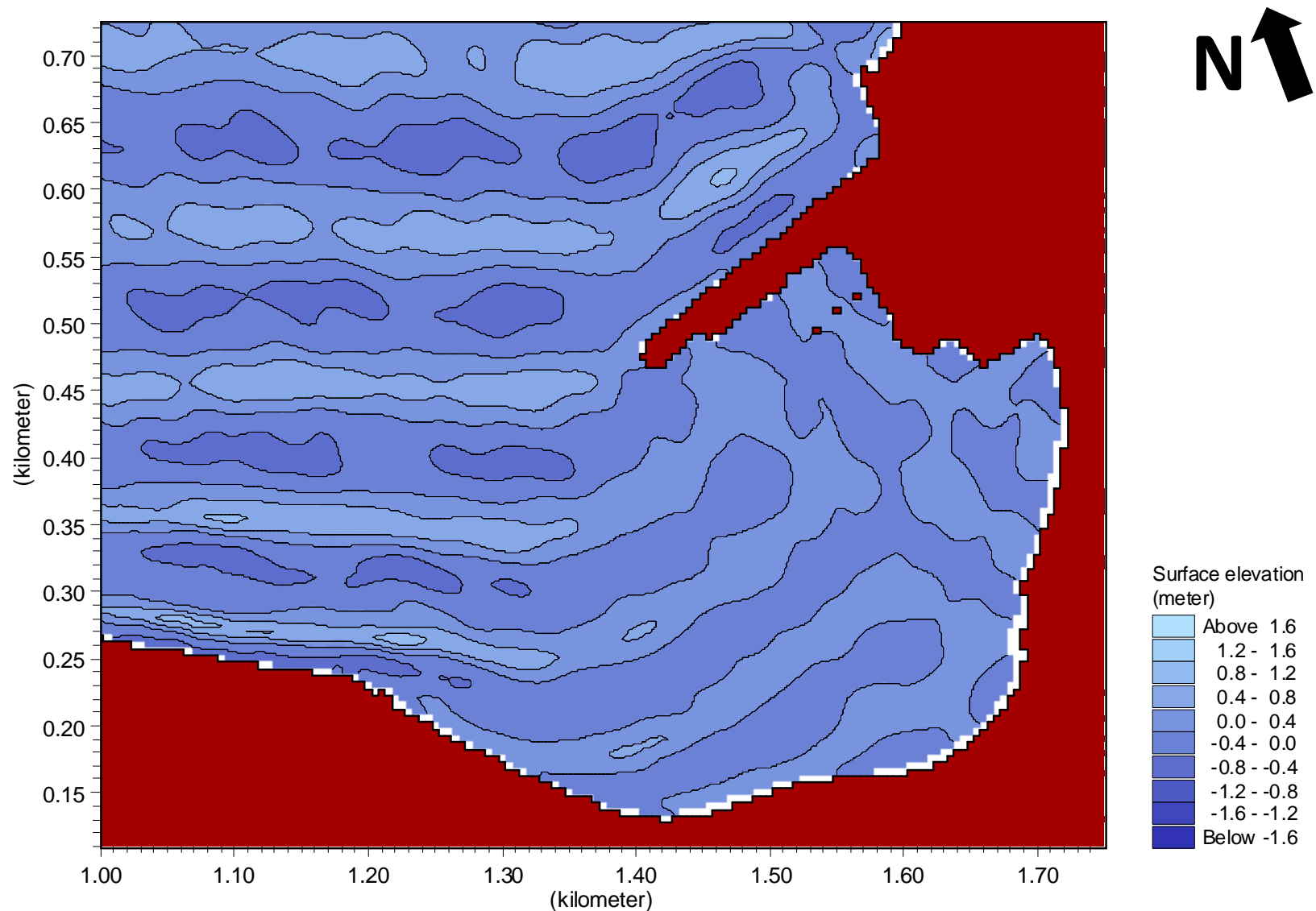


Fig. 15-II Modelo DHI/MIKE21-BW

Sobreelevação da Superfície Livre no Porto de Pesca de Rabo de Peixe – Referência  
 Condição de fronteira  $H=1\text{m}$ ;  $T=12\text{s}$ , Rumo= $N30E$ ;  $H_{\text{maré}}=1\text{m}$ , Malha  $5\times 5\text{m}$